

(85) 減圧下におけるスラグによる溶鋼の脱酸、脱硫

日新製鋼 周南製鋼所 工博 丸橋茂昭

○長谷川寛弘

I. 緒言 合成スラグによる溶鋼の脱酸、脱硫は ASEA-SKF 法、RH-OB 法をはじめとして広く行われている。本実験は VOD において溶鋼のスラグ処理を行うことを前提とし、実験室的にスラグ組成等の検討を行つた。

II. 実験方法 合成スラグとしては $\text{CaO}-\text{Al}_2\text{O}_3$ 系を選び、その脱酸、脱硫能に及ぼす SiO_2 の影響を見るため SiO_2 を数段階変えて添加した。配合値を表 1 に示す。鋼浴成分は $\text{SUS} 430$ とし、100 kg 高周波真空溶解炉においてレツボ底部にポーラスプローブを設置し、Ar を導入しつつ溶鋼とスラグを攪拌混合し、酸素と S の経時変化を調査した。実験温度は 1600°C 付近とし、サンプリングは 3~6 分間隔で行つた。

III. 実験結果 1) 脱硫比に及ぼすスラグ組成と鋼浴酸素値の影響 ; *Sulfur capacity* とスラグの塩基度との関係を図 1 に示す。塩基度 B_L は森¹⁾により提出された式²⁾にもとづいて計算した。この図により本実験範囲では Al_2O_3 は SiO_2 に近い挙動をとすといえる。
2) 脱硫速度について；脱硫速度定数 k_m とスラグの塩基度との関係を図 2 に示す。本実験の k_m の値は Ward³⁾ が静止浴で得た値の 2~4 倍であった。脱硫反応は本実験 ($P_{\text{CO}} = \text{約 } 0.013 \text{ atm}$, $\text{Al}_2\text{O}_3 < 0.005$)においては、はじめ $(\text{S}) + (\text{CaO}) + [\text{C}] = (\text{CaS}) + \text{CO}$ (g) ↑ --- (1) および $(\text{S}) + (\text{CaO}) + \frac{1}{2}(\text{Si}) = (\text{CaS}) + \frac{1}{2}(\text{SiO}_2)$ --- (2) により進行し、後に (2) 式のみにより進行すると推察される。

3) 到達酸素値に影響する要因；本実験の到達酸素値を CO 脱酸の場合と比較したものと図 3 に示す。到達酸素値は [C] とスラグの組成に依存しているといえる。この結果は次のとく説明される。
スラグの添加によると Al_2O_3 の減少、又真空引きによる P_{CO} の減少により、はじめに $(\text{S}) + 2(\text{O}) = (\text{SiO}_2)$ --- (3) $(\text{C}) + (\text{O}) = \text{CO}(\text{g}) \uparrow$ --- (4) の反応が同時に進行するが本実験の範囲では先に (4) 式の平衡状態に到達し、その後に (3) 式の反応によつてのみ酸素は低下する。この時最終的には $(\text{SiO}_2) + 2(\text{C}) = (\text{Si}) + 2(\text{CO(g)})$ --- (5) の平衡を満足する必要があるため (4) 式は逆方向に進行する。この 2 つの段階のいずれにせよ、鋼浴酸素値は [C] とスラグ組成とに依存することになる。

文献 1) 森：鉄と鋼 46(1960)

No. 4 p.14 2) R.G. Ward et al :

JISI 1960 12 p.393

表 1. 合成スラグの組成(配合値, wt%)

使用スラグ	CaO	MgO	SiO ₂	Al ₂ O ₃
スラグ I	63	—	—	37
II	41	9	20	30
III	55	10	20	15
IV	55	10	5	30
V	60	10	—	30
VI	65	10	10	15
VII	55	10	10	25
VIII	65	—	7	28

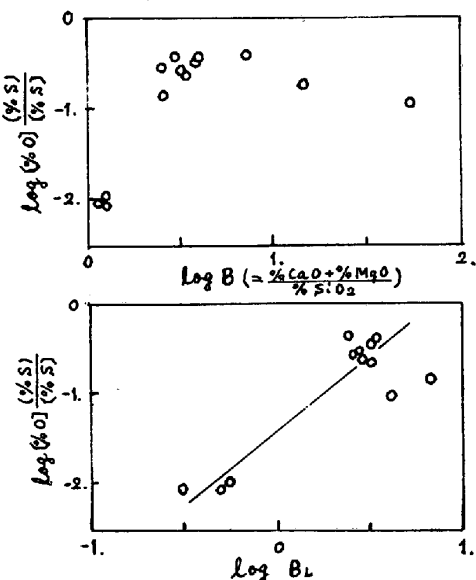


図 1. Sulfur capacity と塩基度との関係

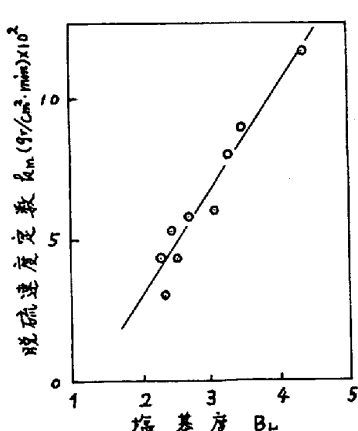


図 2. 脱硫速度とスラグ塩基度との関係

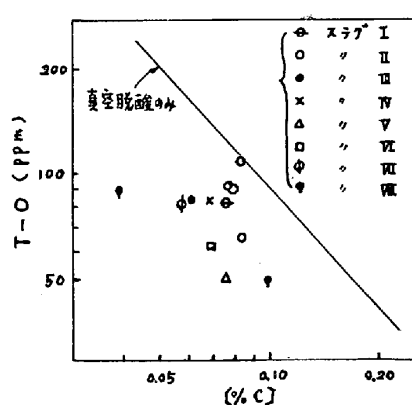


図 3. 真空脱酸とスラグ処理の到達酸素値の比較